



# 筑波大学計算科学研究中心 CCS HPCサマーセミナー 「並列数値アルゴリズム II」

高橋大介

[daisuke@cs.tsukuba.ac.jp](mailto:daisuke@cs.tsukuba.ac.jp)

筑波大学システム情報系  
計算科学研究中心



# 講義内容

- 高速フーリエ変換(Fast Fourier Transform, FFT)
- Cooley-Tukey FFTおよび並列化
- Six-Step FFTおよび並列化
- Nine-Step FFTおよびブロック化, 並列化



# 高速フーリエ変換(FFT)

- 高速フーリエ変換(FFT)は、離散フーリエ変換(DFT)を高速に計算するアルゴリズム。
- 理学分野での応用例
  - 偏微分方程式の解法
  - 置み込み、相関の計算
  - 第一原理計算における密度汎関数法
- 工学分野での応用例
  - スペクトラムアナライザ
  - CTスキャナ・MRIなどの画像処理
  - 地上波デジタルテレビ放送や無線LANで用いられているOFDM(直交周波数多重変調)では、変復調処理にFFTを用いている。



# 離散フーリエ変換(DFT)

- ・離散フーリエ変換(DFT)の定義

$$y(k) = \sum_{j=0}^{n-1} x(j) \omega_n^{jk}$$

$$0 \leq k \leq n-1, \quad \omega_n = e^{-2\pi i / n}$$



# 行列によるDFTの定式化 (1/4)

- $n = 4$  のとき, DFTは以下のように計算できる.

$$y(0) = x(0)\omega^0 + x(1)\omega^0 + x(2)\omega^0 + x(3)\omega^0$$

$$y(1) = x(0)\omega^0 + x(1)\omega^1 + x(2)\omega^2 + x(3)\omega^3$$

$$y(2) = x(0)\omega^0 + x(1)\omega^2 + x(2)\omega^4 + x(3)\omega^6$$

$$y(3) = x(0)\omega^0 + x(1)\omega^3 + x(2)\omega^6 + x(3)\omega^9$$



# 行列によるDFTの定式化

(2/4)

- 行列を用いると、より簡単に表すことができる。

$$\begin{bmatrix} y(0) \\ y(1) \\ y(2) \\ y(3) \end{bmatrix} = \begin{bmatrix} \omega^0 & \omega^0 & \omega^0 & \omega^0 \\ \omega^0 & \omega^1 & \omega^2 & \omega^3 \\ \omega^0 & \omega^2 & \omega^4 & \omega^6 \\ \omega^0 & \omega^3 & \omega^6 & \omega^9 \end{bmatrix} \begin{bmatrix} x(0) \\ x(1) \\ x(2) \\ x(3) \end{bmatrix}$$

- $n^2$  回の複素数の乗算と、 $n(n-1)$  回の複素数の加算が必要。



# 行列によるDFTの定式化 (3/4)

- $\omega_n^{jk} = \omega_n^{jk \bmod n}$  の関係を用いると、以下のように書き直すことができる。

$$\begin{bmatrix} y(0) \\ y(1) \\ y(2) \\ y(3) \end{bmatrix} = \begin{bmatrix} 1 & 1 & 1 & 1 \\ 1 & \omega^1 & \omega^2 & \omega^3 \\ 1 & \omega^2 & \omega^0 & \omega^2 \\ 1 & \omega^3 & \omega^2 & \omega^1 \end{bmatrix} \begin{bmatrix} x(0) \\ x(1) \\ x(2) \\ x(3) \end{bmatrix}$$



# 行列によるDFTの定式化 (4/4)

- 行列の分解により、乗算回数を減らすことができる。

$$\begin{bmatrix} y(0) \\ y(2) \\ y(1) \\ y(3) \end{bmatrix} = \begin{bmatrix} 1 & \omega^0 & 0 & 0 \\ 1 & \omega^2 & 0 & 0 \\ 0 & 0 & 1 & \omega^1 \\ 0 & 0 & 1 & \omega^3 \end{bmatrix} \begin{bmatrix} 1 & 0 & \omega^0 & 0 \\ 0 & 1 & 0 & \omega^0 \\ 1 & 0 & \omega^2 & 0 \\ 0 & 1 & 0 & \omega^2 \end{bmatrix} \begin{bmatrix} x(0) \\ x(1) \\ x(2) \\ x(3) \end{bmatrix}$$

これを再帰的に行うと、演算量を  $O(n \log n)$  にできる（データ数  $n$  は合成数である必要がある）



# DFTとFFTの演算量の比較

- ・ DFTの実数演算回数

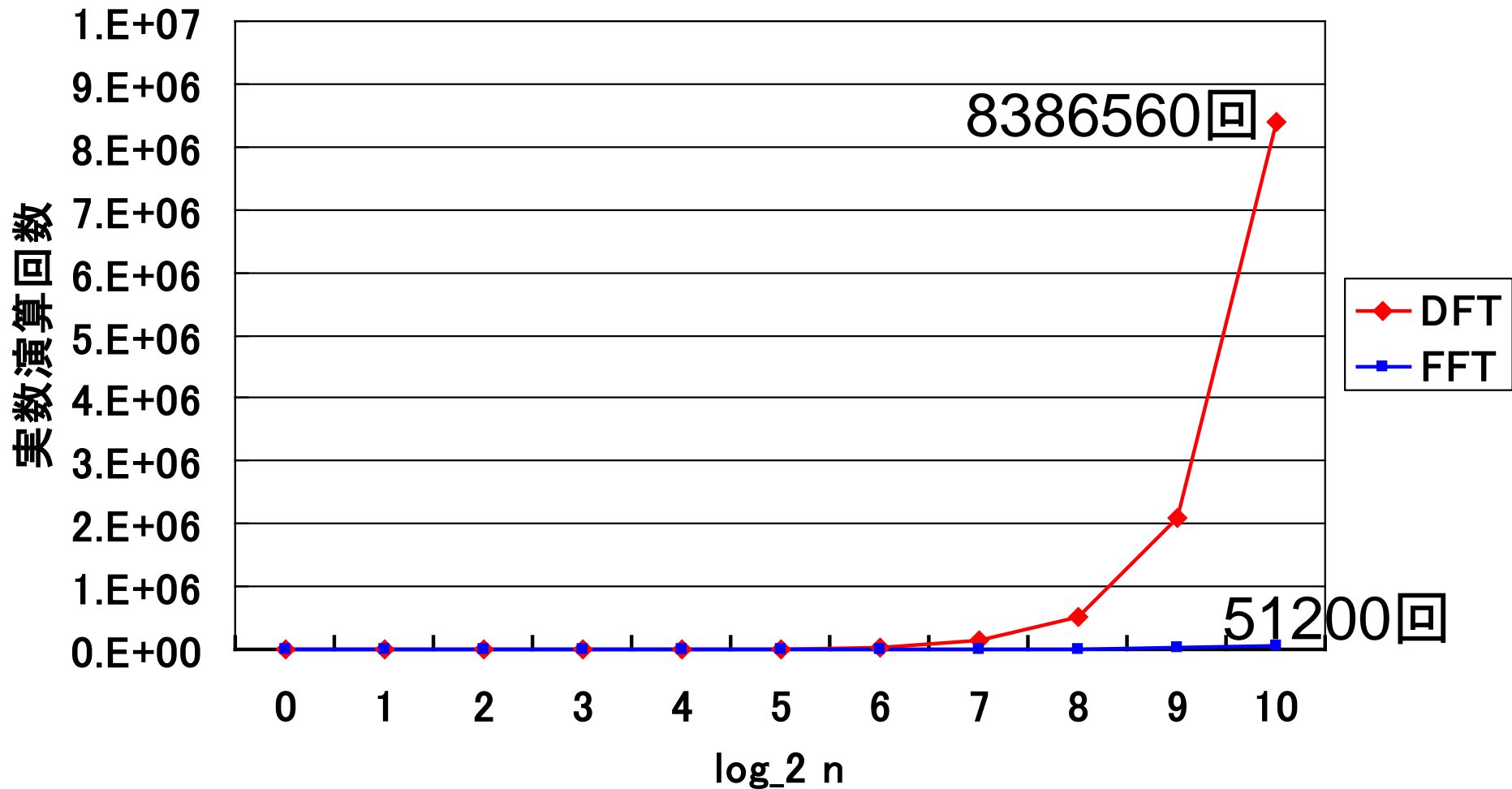
$$T_{DFT} = 8n^2 - 2n$$

- ・ FFTの実数演算回数  
( $n$  が2のべきの場合)

$$T_{FFT} = 5n \log_2 n$$

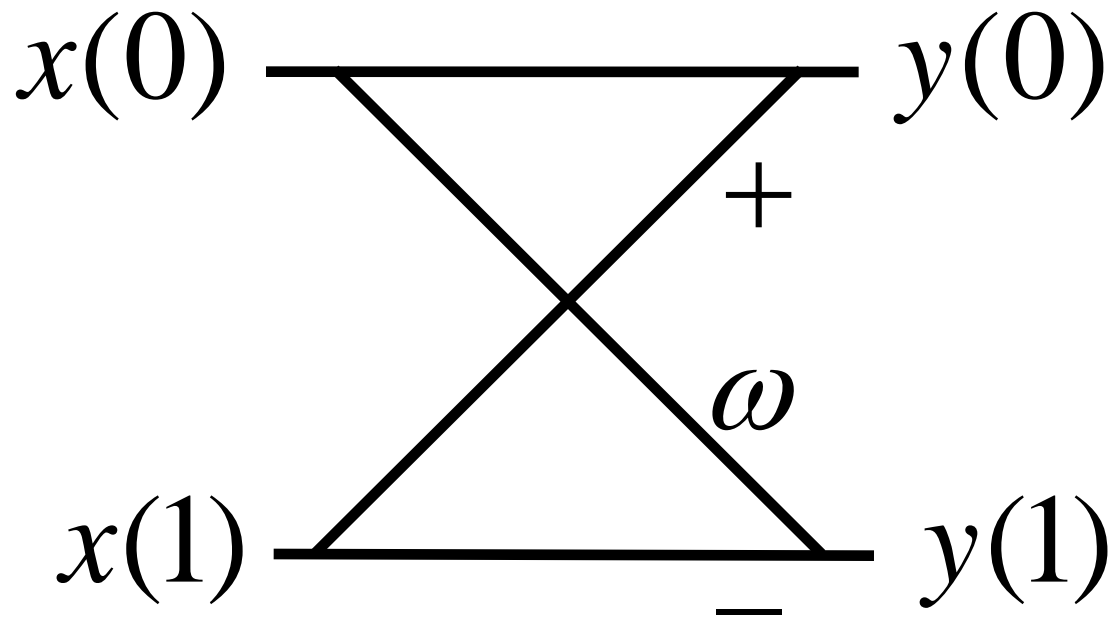


# DFTとFFTの演算量の比較





# バタフライ演算

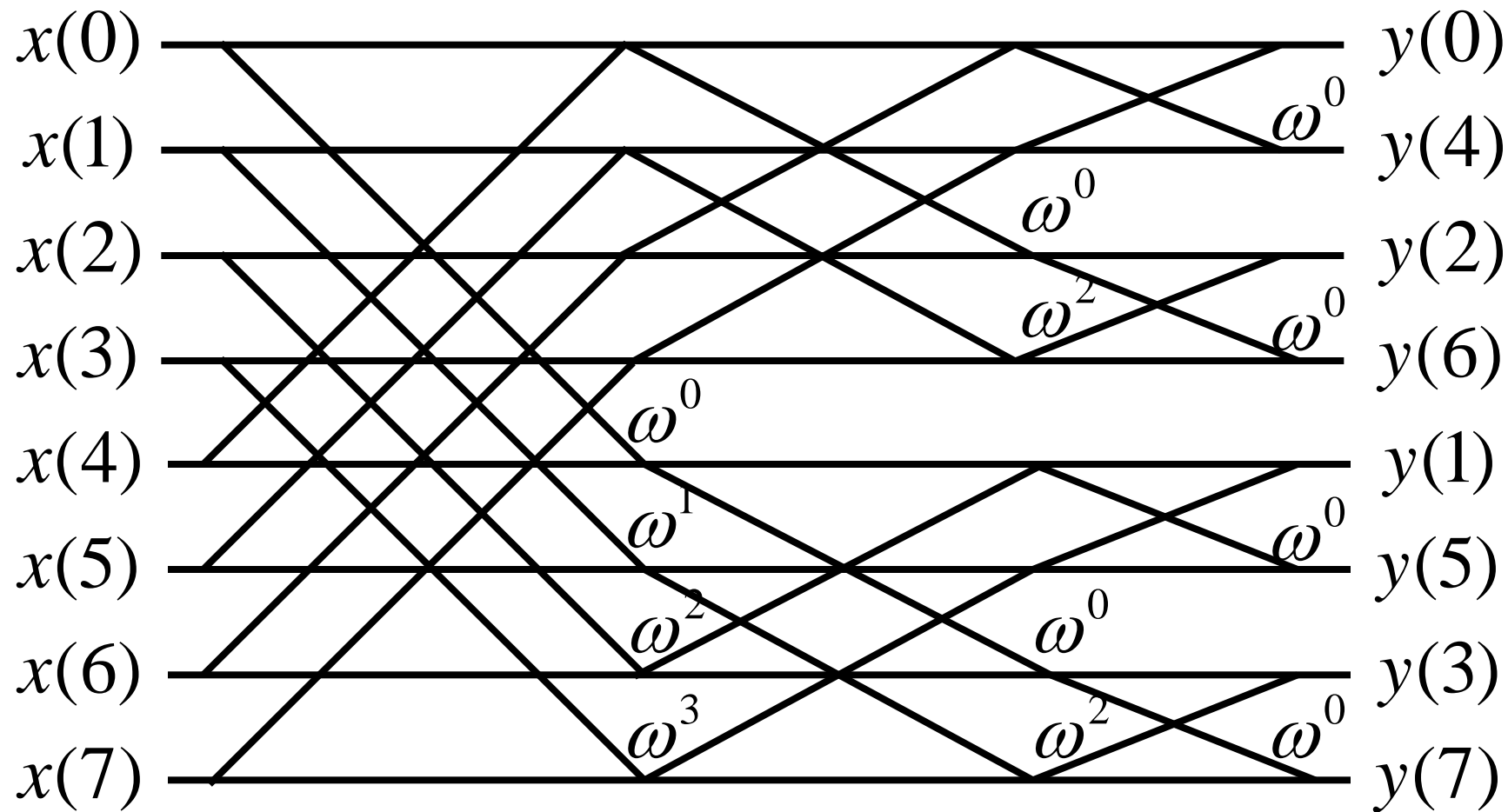


$$y(0) = x(0) + x(1)$$

$$y(1) = \omega \{x(0) - x(1)\}$$



# Cooley-Tukey FFTの信号流れ図





# FFTのカーネル部分の例

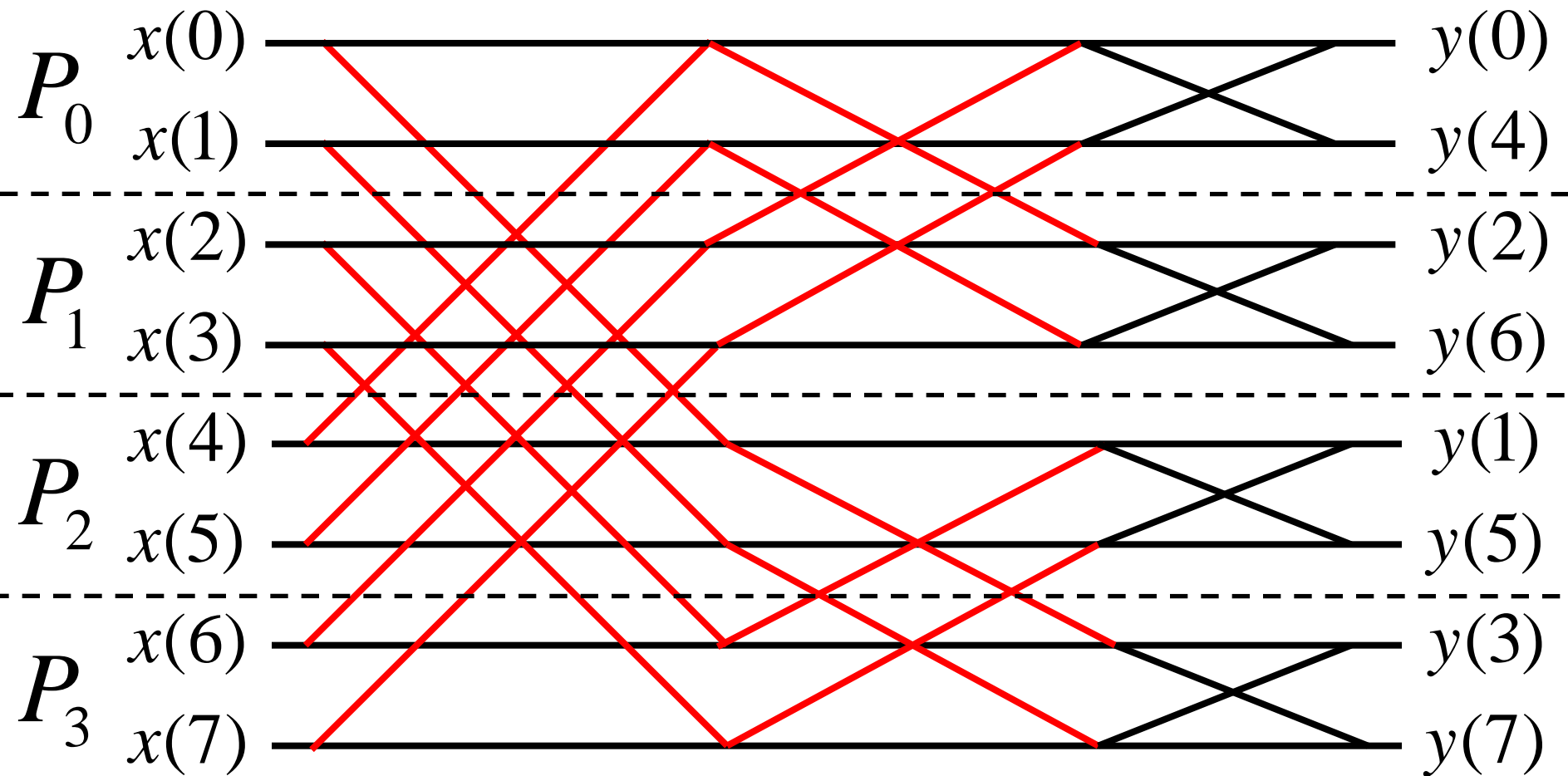
```
SUBROUTINE FFT2(A,B,W,M,L)
IMPLICIT REAL*8 (A-H,O-Z)
DIMENSION A(2,M,L,*),B(2,M,2,*),W(2,*)
```

C

```
DO J=1,L
    WR=W(1,J)
    WI=W(2,J)
    DO I=1,M
        B(1,I,1,J)=A(1,I,J,1)+A(1,I,J,2)
        B(2,I,1,J)=A(2,I,J,1)+A(2,I,J,2)
        B(1,I,2,J)=WR*(A(1,I,J,1)-A(1,I,J,2))-WI*(A(2,I,J,1)-A(2,I,J,2))
        B(2,I,2,J)=WR*(A(2,I,J,1)-A(2,I,J,2))+WI*(A(1,I,J,1)-A(1,I,J,2))
    END DO
END DO
RETURN
END
```



# Cooley-Tukey FFTの並列化





# 並列Cooley-Tukey FFTの通信量

- ・ ノード数を  $P$  とすると, 並列Cooley-Tukey FFT では,  $\log_2 P$  ステージの通信が必要になる.
- ・ 各ステージでは  $n / P$  個の倍精度複素数データの通信(`MPI_Send`, `MPI_Recv`)が行われるため, 合計の通信量は,

$$T_{Cooley-Tukey} = \frac{16n}{P} \log_2 P \text{ (バイト)}$$



# $n = n_1 n_2$ に対するFFTアルゴリズム

- $n = n_1 n_2$  で与えられるとする.

$$j = j_1 + j_2 n_1 \quad j_1 = 0, 1, \dots, n_1 - 1 \quad j_2 = 0, 1, \dots, n_2 - 1$$

$$k = k_2 + k_1 n_2 \quad k_1 = 0, 1, \dots, n_1 - 1 \quad k_2 = 0, 1, \dots, n_2 - 1$$

- 上記の表現を用いると、DFTの定義式を以下のように書き換えることができる.

$$y(k_2, k_1) = \sum_{j_1=0}^{n_1-1} \left[ \sum_{j_2=0}^{n_2-1} x(j_1, j_2) \omega_{n_2}^{j_2 k_2} \omega_{n_1 n_2}^{j_1 k_2} \right] \omega_{n_1}^{j_1 k_1}$$

- $n$  点FFTを  $n_1$  点FFTと  $n_2$  点FFTに分解している.



# Six-Step FFTアルゴリズム

1. 行列の転置
2.  $n_1$  組の  $n_2$  点 multicolunn FFT
3. ひねり係数( $\omega_{n_1 n_2}^{j_1 k_2}$ )の乗算
4. 行列の転置
5.  $n_2$  組の  $n_1$  点 multicolunn FFT
6. 行列の転置

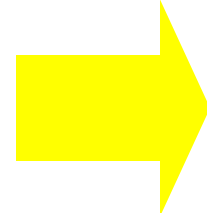
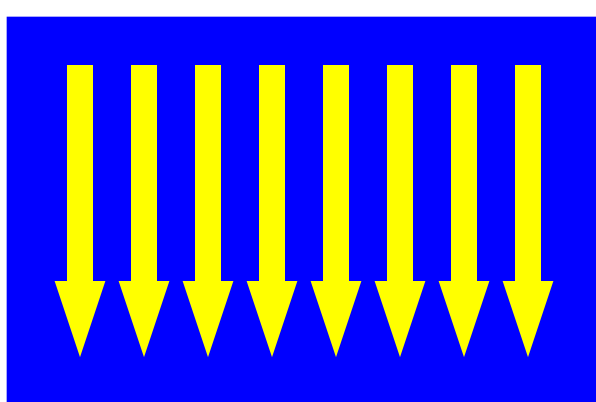


# Six-Step FFTアルゴリズム

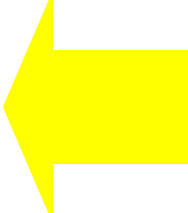
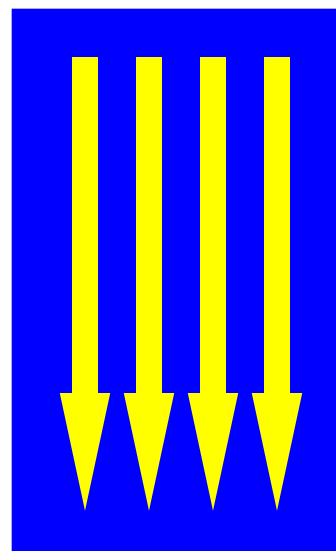
$\sqrt{n}$  点FFTを  
 $\sqrt{n}$  回実行

 $n_2$  $n_1$ 

転置

 $n_2$  $n_2$  $n_1$ 

転置

 $n_1$ 

転置

 $n_2$ 



# Six-Step FFTのプログラム例

```
SUBROUTINE FFT(A,B,W,N1,N2)
COMPLEX*16 A(*),B(*),W(*)
```

C

```
CALL TRANS(A,B,N1,N2)
DO J=1,N1
    CALL FFT2(B((J-1)*N2+1),N2)
END DO
DO I=1,N1*N2
    B(I)=B(I)*W(I)
END DO
CALL TRANS(B,A,N2,N1)
DO J=1,N2
    CALL FFT2(A((J-1)*N1+1),N1)
END DO
CALL TRANS(A,B,N1,N2)
RETURN
END
```

N1 × N2行列をN2 × N1行列に転置

N1組のN2点multicolumn FFT

ひねり係数(W)の乗算

N2 × N1行列をN1 × N2行列に転置

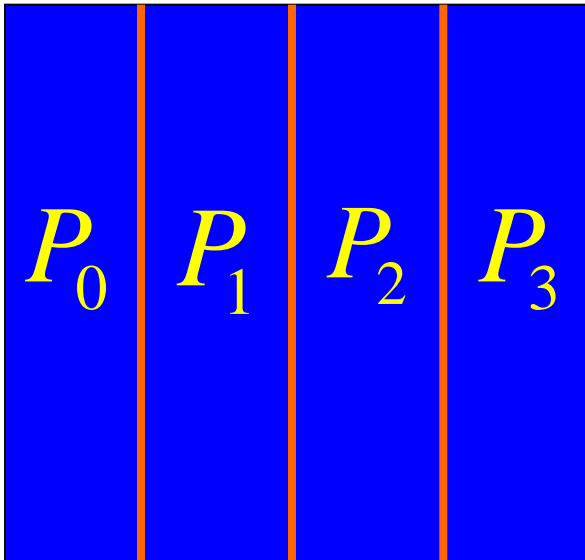
N2組のN1点multicolumn FFT

N1 × N2行列をN2 × N1行列に転置

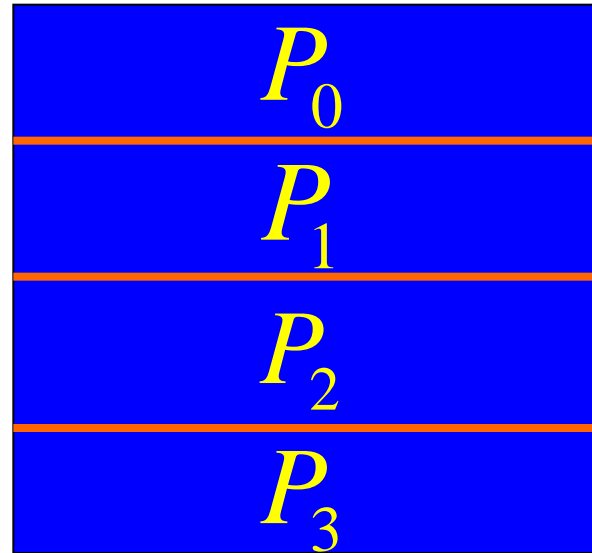


# 配列の分割方法(1/4)

- ・ MPIで並列化を行う際には、各ノードで配列を分割して持つようになると、メモリを節約することができる。
- ・ ブロック分割
  - 連続する領域をノード数で分割



列方向に分割したブロック分割



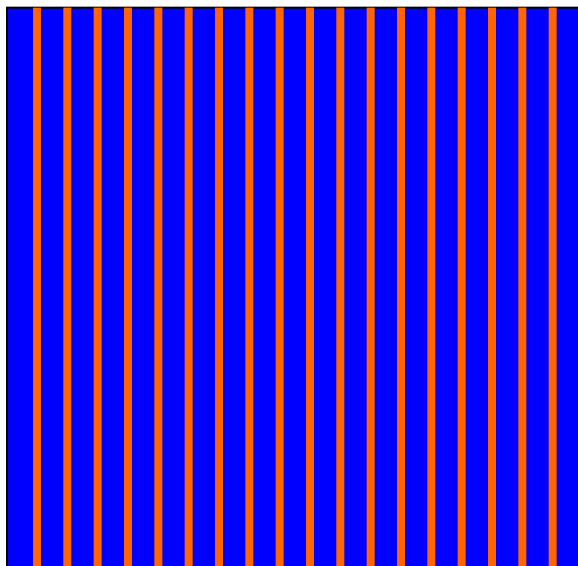
行方向に分割したブロック分割



# 配列の分割方法(2/4)

- ・ サイクリック分割
  - 1列(または1行)ごとに分割
  - ブロック分割に比べてロードバランスが取りやすい

0123012301230123…

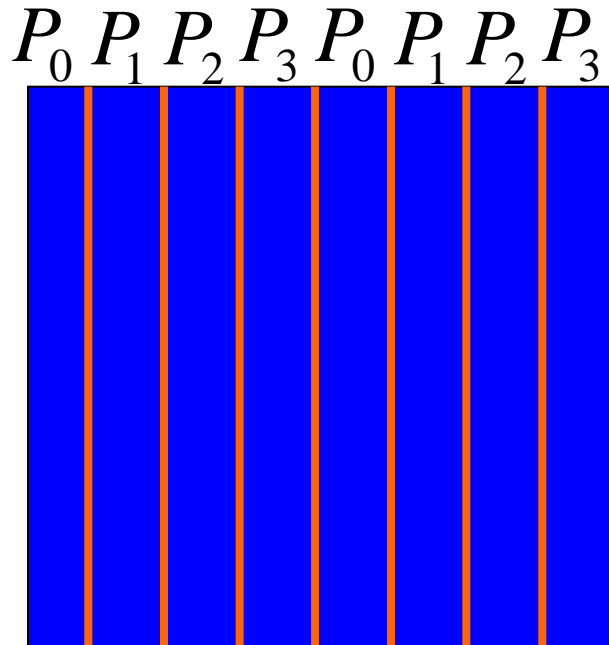


列方向に分割したサイクリック分割



# 配列の分割方法(3/4)

- ・ ブロックサイクリック分割
  - 複数列(または複数行)ごとに分割
  - ブロック分割とサイクリック分割の中間

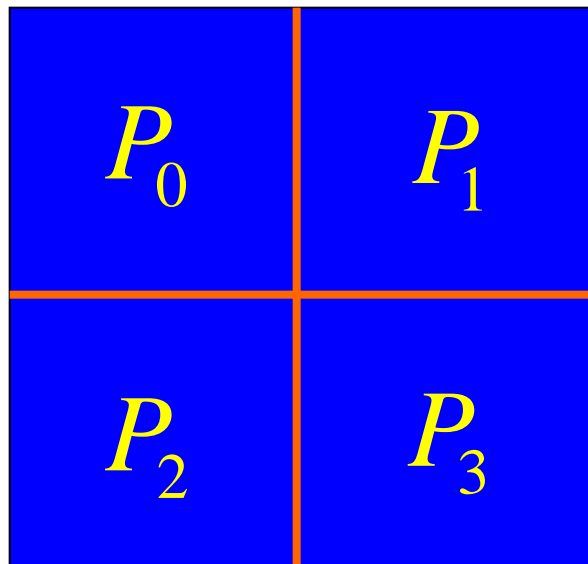


列方向に分割したブロックサイクリック分割



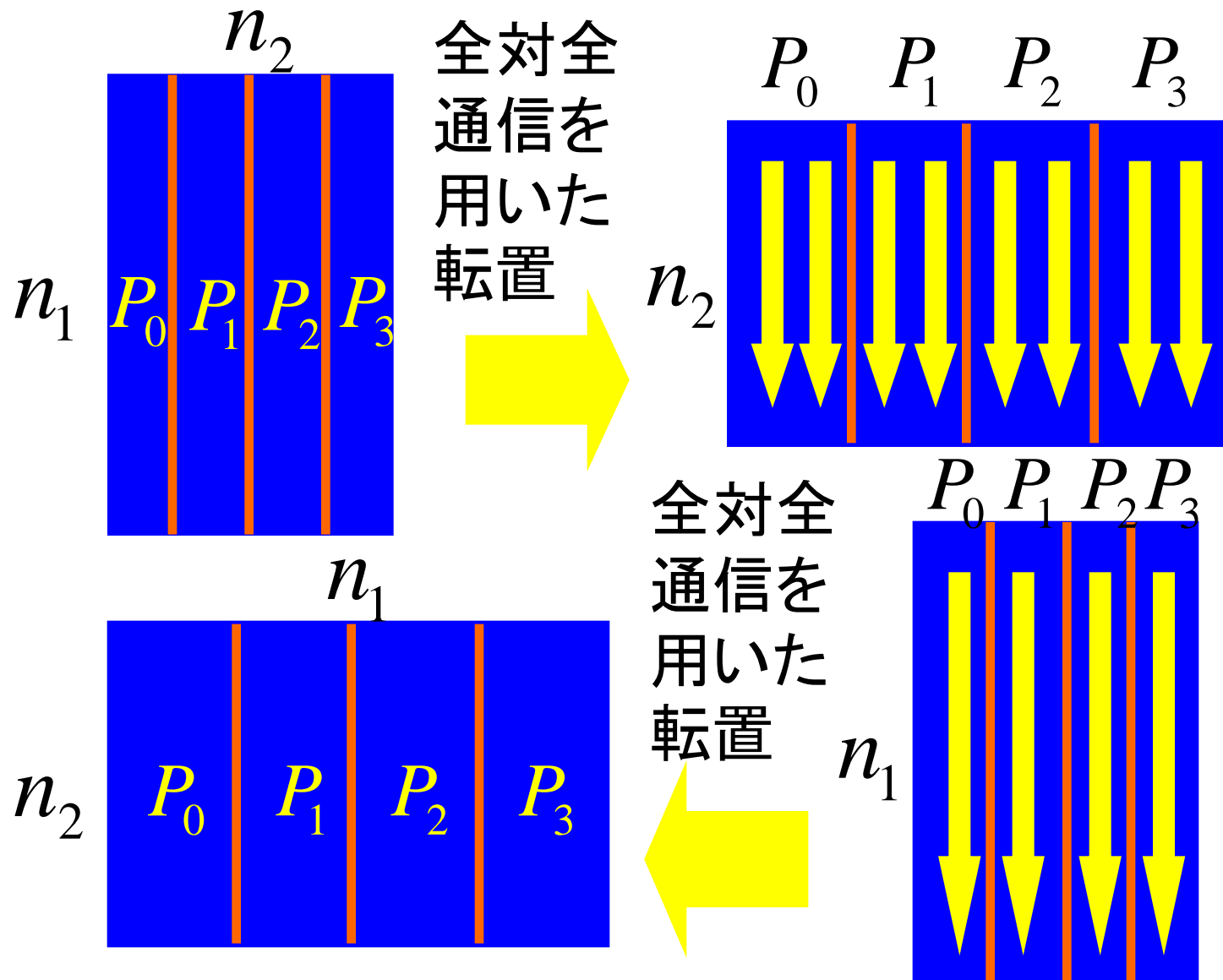
# 配列の分割方法(4/4)

- ・ 二次元分割
  - 行方向と列方向の両方を分割
  - 一次元分割よりも通信量が減ることがある
  - 二次元のブロック分割, サイクリック分割, ブロックサイク  
リック分割が考えられる.

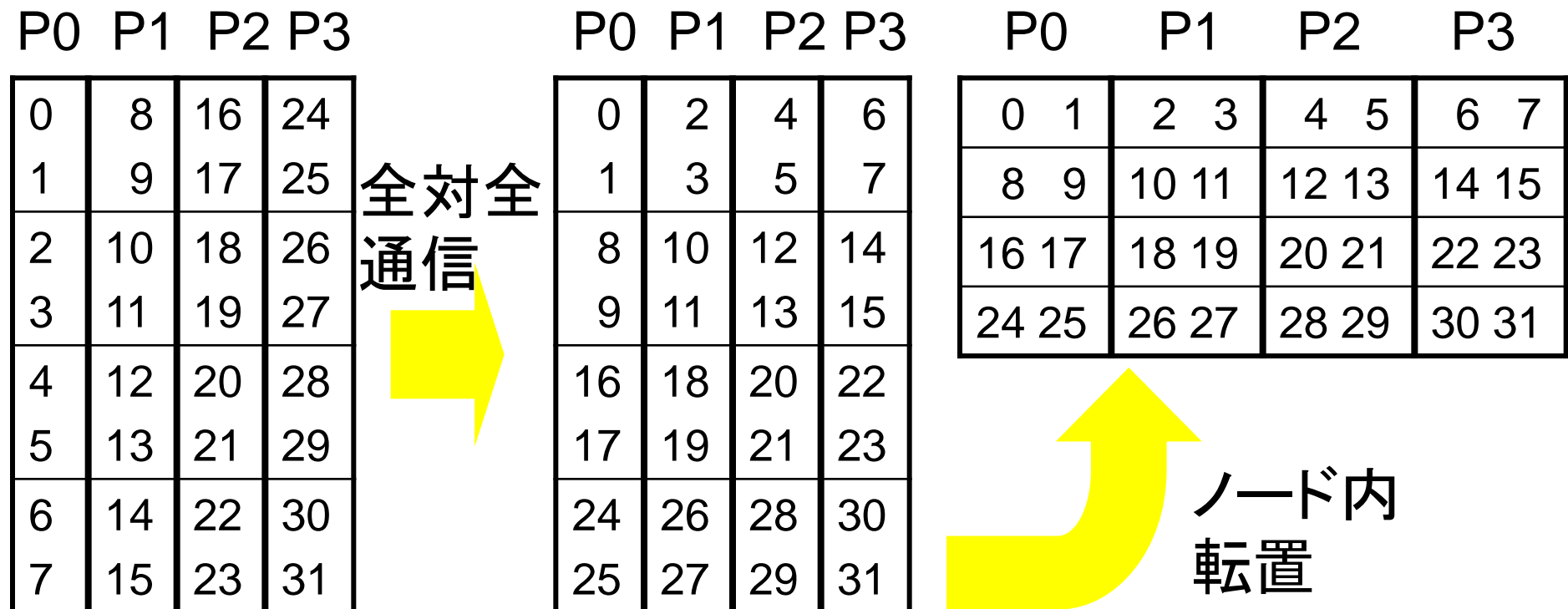


二次元ブロック分割

# 並列Six-Step FFTアルゴリズム



# 全対全通信(MPI\_Alltoall)を用いた 行列の転置





# 並列Six-Step FFTのプログラム例

C

```
SUBROUTINE PARAFFT(A,B,W,N1,N2,NPU)
COMPLEX*16 A(*),B(*),W(*)
```

```
CALL PTRANS(A,B,N1,N2,NPU)
DO J=1,N1/NPU
    CALL FFT2(B((J-1)*N2+1),N2)
END DO
DO I=1,(N1*N2)/NPU
    B(I)=B(I)*W(I)
END DO
CALL PTRANS(B,A,N2,N1,NPU)
DO J=1,N2/NPU
    CALL FFT2(A((J-1)*N1+1),N1)
END DO
CALL PTRANS(A,B,N1,N2,NPU)
RETURN
END
```

N1 x N2行列をN2 x N1行列に転置  
(MPI\_ALLTOALLを使用)  
(N1/NPU)組のN2点multicolumn FFT

ひねり係数(W)の乗算

N2 x N1行列をN1 x N2行列に転置  
(MPI\_ALLTOALLを使用)  
(N2/NPU)組のN1点multicolumn FFT

N1 x N2行列をN2 x N1行列に転置  
(MPI\_ALLTOALLを使用)



# 並列Six-Step FFTの通信量

- ・ ノード数を  $P$  とすると、並列Six-Step FFT では、3回の全対全通信が必要になる。
- ・ 全対全通信では、各ノードは  $n / P^2$  個の倍精度複素数データを、自分以外の  $P - 1$  ノードに送ることになるため、合計の通信量は

$$T_{Six-Step} = 3 \cdot (P - 1) \cdot \frac{16n}{P^2} \text{ (バイト)}$$



# 並列Cooley-Tukey FFTと並列Six-Step FFTの通信量の比較

- ・並列Cooley-Tukey FFTの通信量

$$T_{Cooley-Tukey} = \frac{16n}{P} \log_2 P$$

- ・並列Six-Step FFTの通信量

$$T_{Six-Step} = 3 \cdot (P - 1) \cdot \frac{16n}{P^2}$$

- ・両者を比較すると,  $P > 8$  の場合には, 並列Six-Step FFTの方が通信量が少なくなる.



# Six-Step FFTの問題点

- Multicolumn FFTにおいて,  $\sqrt{n}$  点の各column FFTがキャッシュに載らない場合, 性能が大きく劣化する.
- 分散メモリ型並列計算機で処理する大規模FFT(例えば,  $2^{24}$ 点以上)では, 高い性能を発揮できない.



# 三次元表現

- $n$  が  $n = n_1 n_2 n_3$  と分解されるとすると

$$y(k_3, k_2, k_1) = \sum_{j_1=0}^{n_1-1} \sum_{j_2=0}^{n_2-1} \sum_{j_3=0}^{n_3-1} x(j_1, j_2, j_3) \omega_{n_3}^{j_3 k_3}$$

$$\omega_{n_2 n_3}^{j_2 k_3} \omega_{n_2}^{j_2 k_2} \omega_n^{j_1 k_2} \omega_{n_1 n_2}^{j_1 k_2} \omega_{n_1}^{j_1 k_1}$$

$n^{1/3}$  点 column FFT にして、キヤツシュミスを低減



# Nine-Step FFTアルゴリズム

1. 行列の転置
2.  $n_1 n_2$ 組の  $n_3$ 点 multicolumn FFT
3. ひねり係数( $\omega_{n_2 n_3}^{j_2 k_3}$ )の乗算
4. 行列の転置
5.  $n_1 n_3$ 組の  $n_2$ 点 multicolumn FFT
6. ひねり係数( $\omega_n^{j_1 k_3} \omega_{n_1 n_2}^{j_1 k_2}$ )の乗算
7. 行列の転置
8.  $n_2 n_3$ 組の  $n_1$ 点 multicolumn FFT
9. 転置

# Nine-Step FFTアルゴリズム

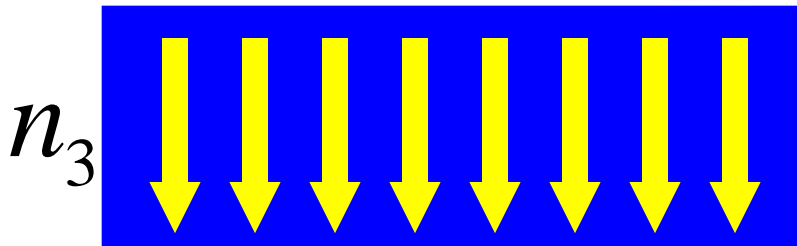
$n_2 n_3$

転置

$n_1 n_2$



$n_1$



$n^{1/3}$ 点FFTを  
 $n^{2/3}$ 回実行

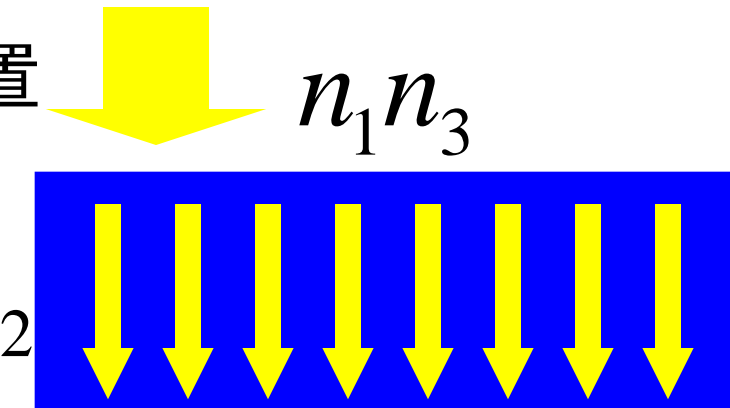
$n_2 n_1$

$n_3$

転置

$n_1 n_3$

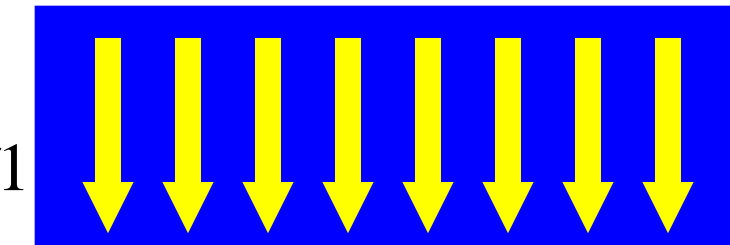
$n_2$



転置

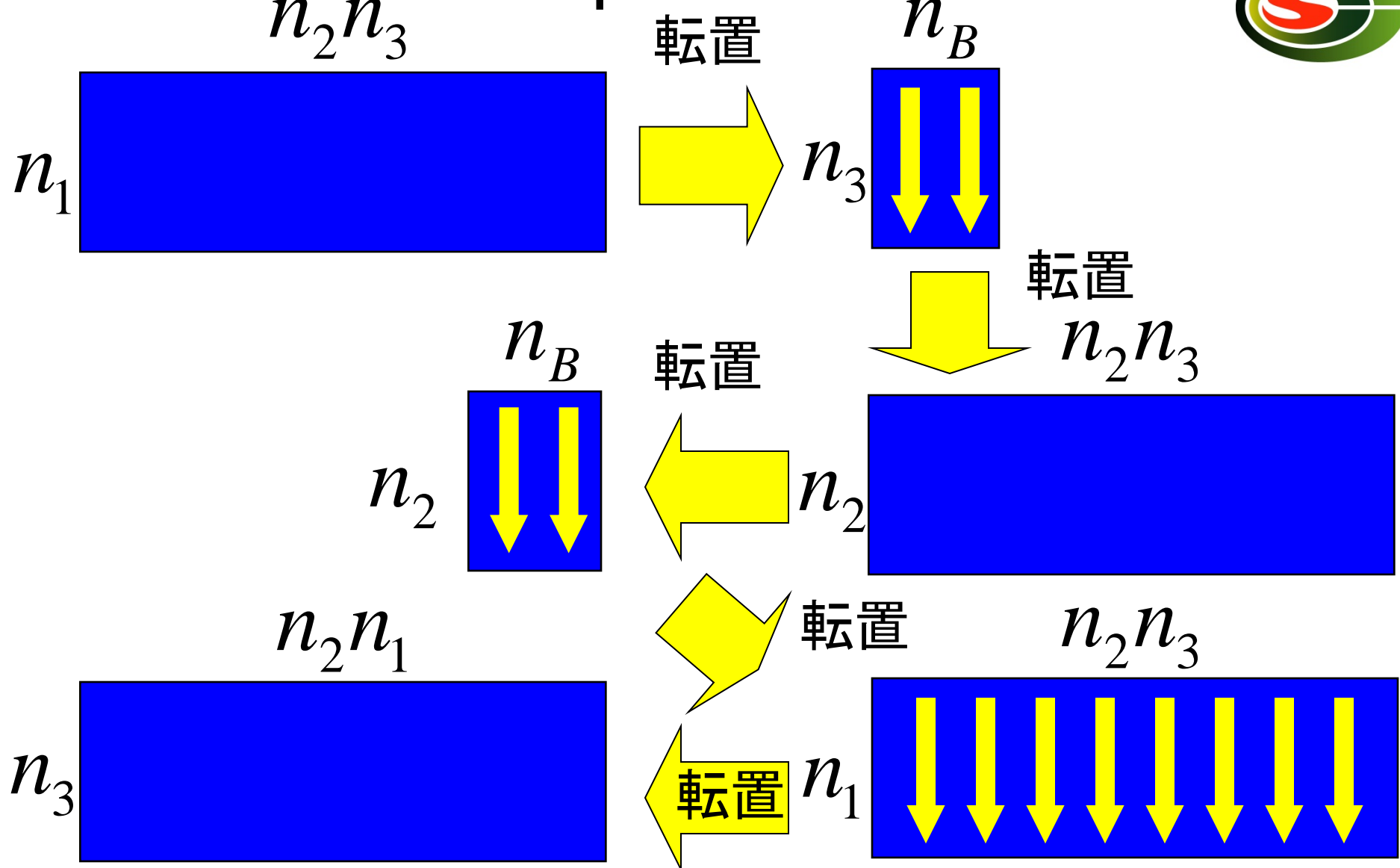
$n_2 n_3$

$n_1$





# ブロックNine-Step FFTアルゴリズム



# In-Cache FFTアルゴリズム



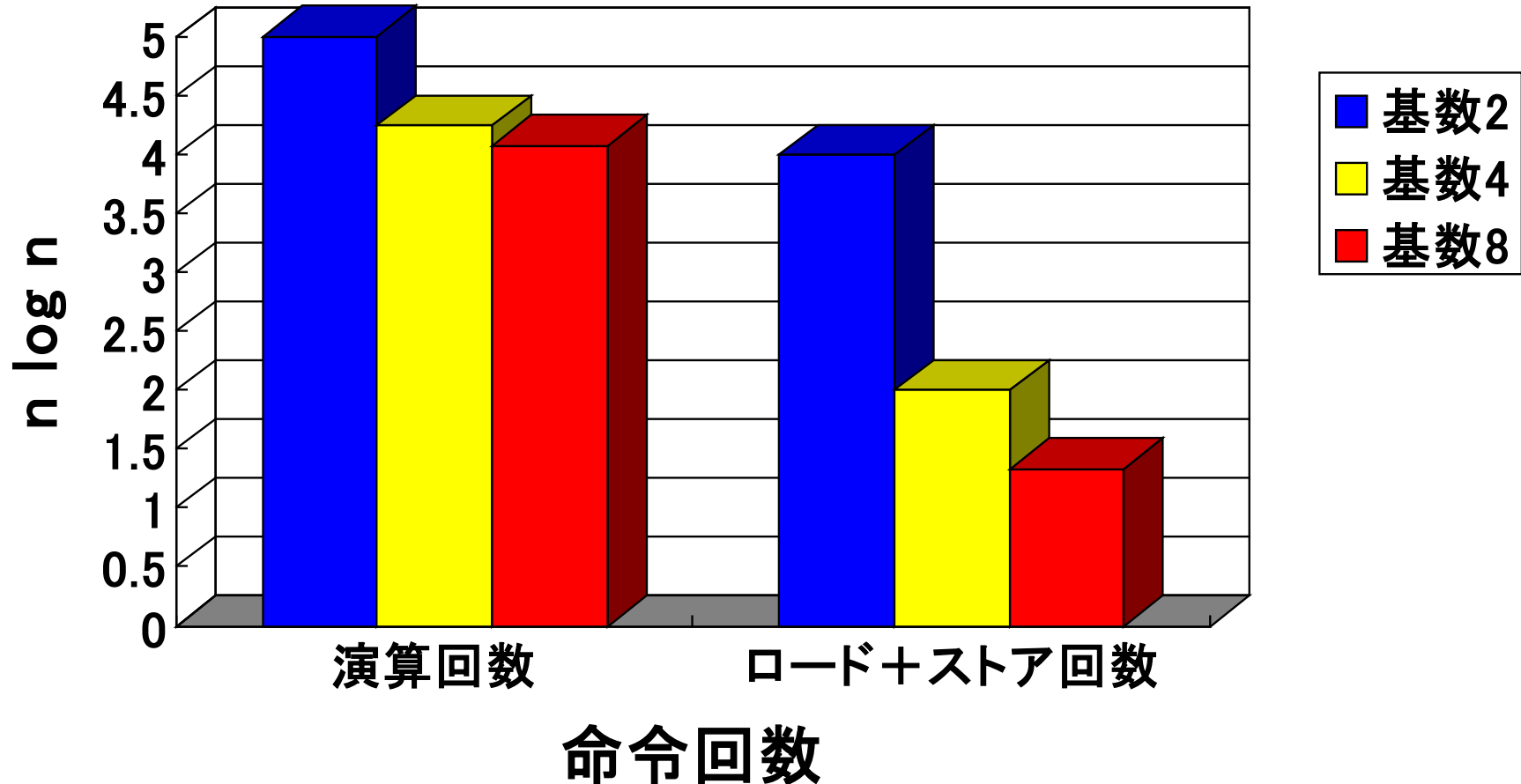
- Multicolumn FFTにおいて、各column FFTがキャッシュに載る場合のin-cache FFTとして、
  - Cooley-Tukeyアルゴリズム(ビットリバース処理が必要)
  - Stockhamアルゴリズム(ビットリバース処理は不要)が考えられる。
- 高い基底のFFTを積極的に用いることにより、メモリアクセス回数を減らす。
  - 基数4, 8のFFTを組み合わせて使用。
  - 基数8よりもメモリアクセス回数の多い、基数4のFFTを最大2ステップに抑えることにより、さらにメモリアクセスを減らす。



# 最内側ループにおける ロード＋ストア, 乗算および加算回数

	基數2	基數4	基數8
ロード＋ストア回数	8	16	32
乗算回数	4	12	32
加算回数	6	22	66
総浮動小数点演算回数 $(n \log_2 n)$	5	4.25	4.083
浮動小数点演算命令数	10	34	98
浮動小数点演算命令数と ロード＋ストア回数の比	1.25	2.125	3.063

# FFTカーネルを用いた場合の n点FFTの必要演算回数



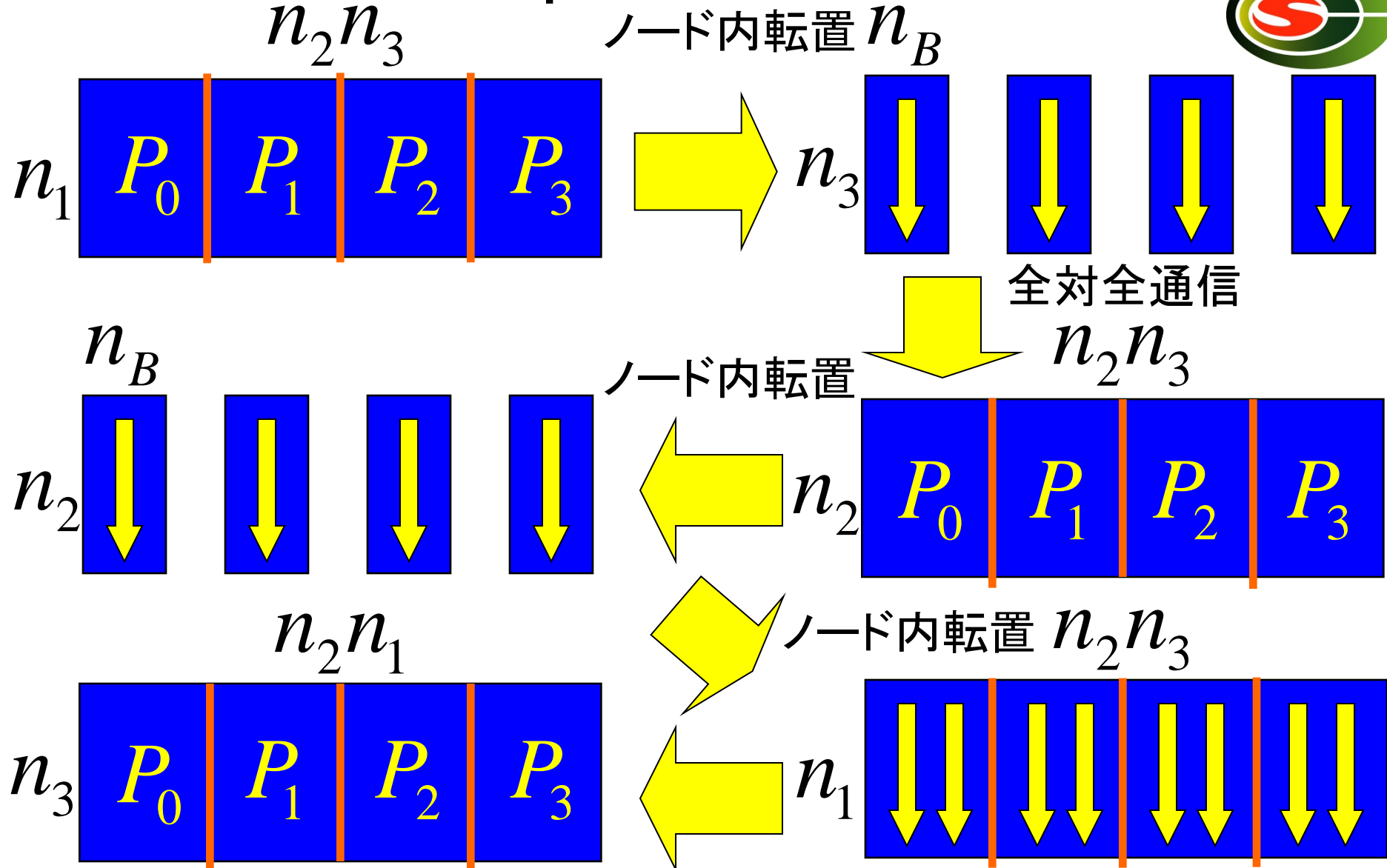


# Nine-Step FFTのブロック化

- 行列の転置で用いられているキャッシュ内のデータをmulticolumn FFTでも活用し、キャッシュ内のデータの再利用性を高くする。
- 主記憶からキャッシュにいったんロードしたデータは、できるだけキャッシュに載っているようにする。
- キャッシュ内のデータは再利用できるだけ再利用し、本当にいらなくなつた時点で主記憶に書き戻す。



# 並列Nine-Step FFTアルゴリズム

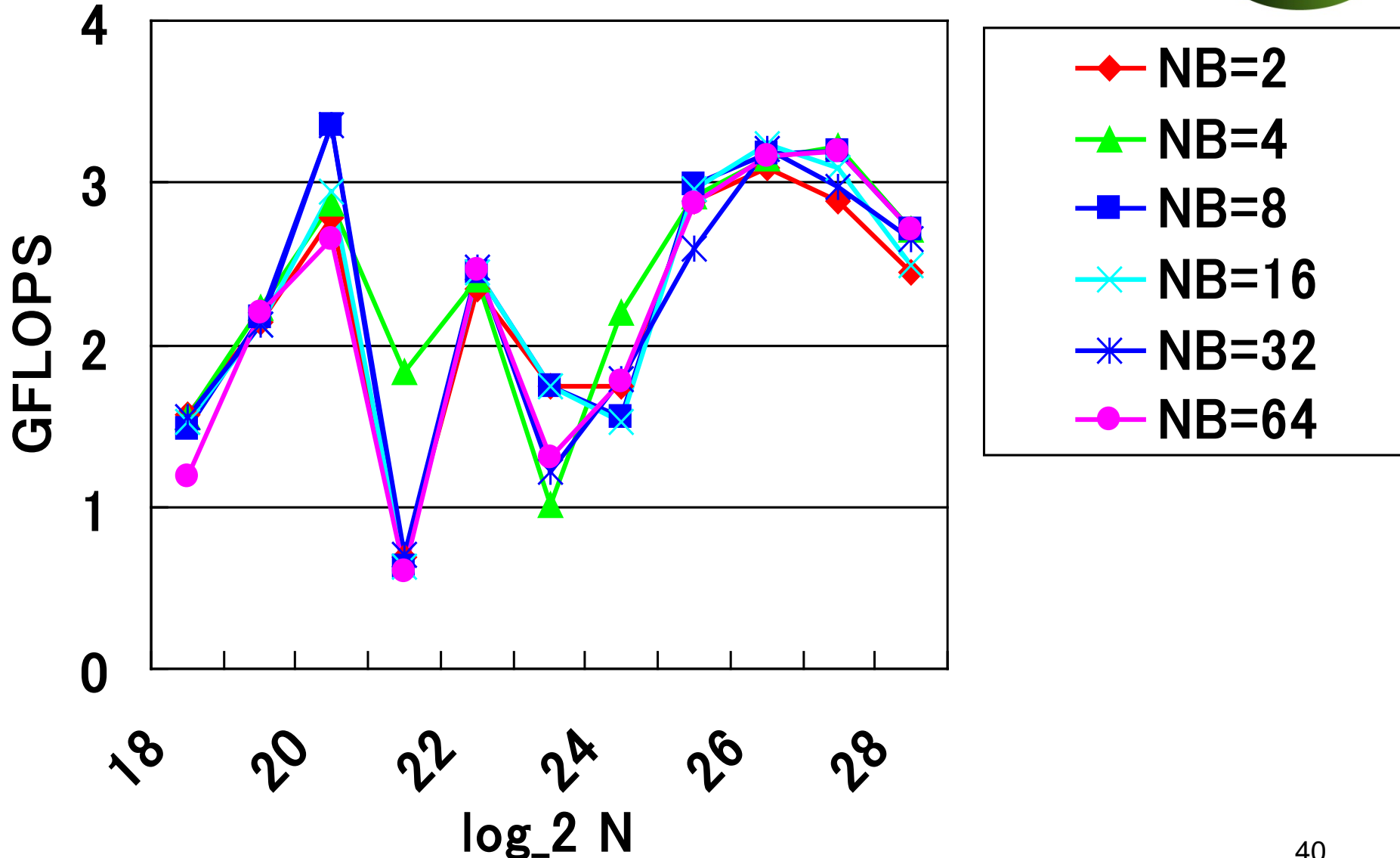


# ブロックNine-Step FFTの利点



- Stockham FFT等の通常のFFTアルゴリズムでは、
  - 演算回数:  $5n \log_2 n$
  - 主記憶アクセス回数:  $4n \log_2 n$
- ブロックNine-Step FFTでは、
  - 演算回数:  $5n \log_2 n$
  - 主記憶アクセス回数: 理想的には  $12n$
- Nine-Step FFTの部分で  $n^{1/3}$  点FFTにブロック化を行っていることから、提案するブロックNine-Step FFTは、「二重ブロック化」アルゴリズムといえる。

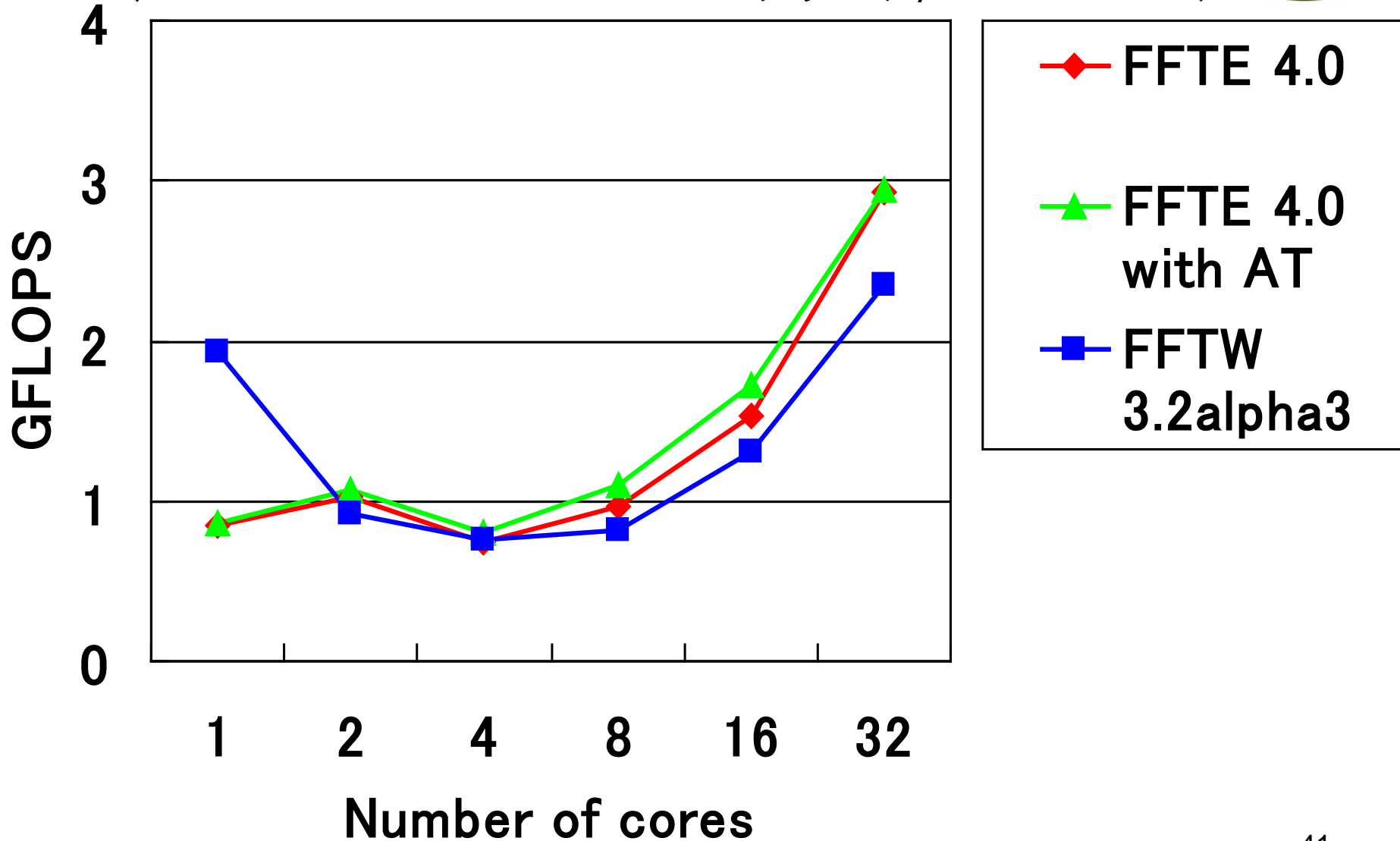
# 並列Nine-Step FFTにおけるブロックサイズ依存性 (dual-core Xeon 2.4GHz PCクラスタ, 32 cores)





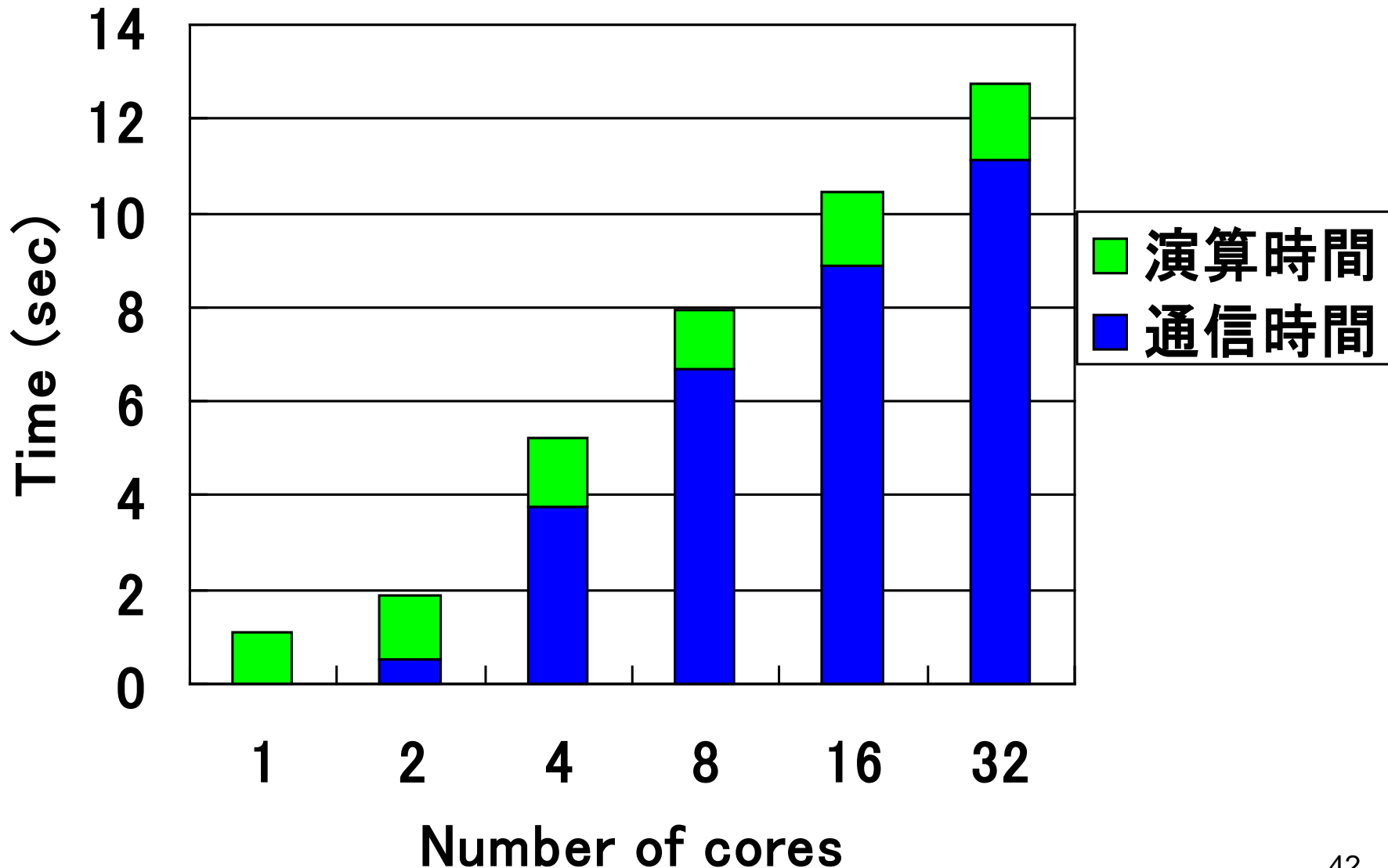
## 並列一次元FFTの性能

(dual-core Xeon 2.4GHz PCクラスタ,  $N = 2^{23} \times P$ )





# 並列一次元FFTの実行時間の内訳 (dual-core Xeon 2.4GHz PCクラスタ, N=2^23xP)





# 並列FFTライブラリの例

- 商用の並列数値計算ライブラリ
  - Intel Cluster MKL(Math Kernel Library)
    - OpenMP版とMPI版が利用可能
  - AMD ACML(AMD Core Math Library)
    - OpenMP版が利用可能
- オープンソースの並列FFTライブラリ
  - FFTW(<http://www.fftw.org>)
    - OpenMP版とMPI版が利用可能
  - FFTE(<http://www.ffte.jp>)
    - OpenMP版, MPI版とOpenMP+MPI版が利用可能



# まとめ

- 並列数値計算アルゴリズムとして, FFT(高速フーリエ変換)を取り上げた.
- 問題の領域をどのように分割するかが鍵となる.
  - ブロック分割, サイクリック分割, ブロックサイクリック分割
- 並列FFTでは通信部分はAll-to-All通信が中心となるので, 並列化は比較的容易.
- 通信量を削減するだけではなく, ブロック化等を用いたメモリアクセスの局所化も重要となる.



# 課題

- 離散フーリエ変換(DFT)の $O(N^2)$ のアルゴリズムと、高速フーリエ変換(FFT)の $O(N\log N)$ のアルゴリズムを任意のプログラミング言語で実装し、 $n=65536$ の場合の実行時間を比較せよ。